

· 论 著 ·

# 急性冠脉综合征患者血浆 sLRP-1、血清 RANTES 与 GRACE 评分的相关性分析

田雅楠<sup>1</sup>, 胡娜<sup>2</sup>, 宋海玖<sup>3</sup>, 秦巍<sup>1</sup>, 丁振江<sup>1</sup>

1. 承德医学院附属医院心脏内科, 河北 承德 067000;

2. 承德医学院附属医院南区心脏内科, 河北 承德 067000; 3. 承德市中医院内一科, 河北 承德 067000

**摘要:** 目的 探讨急性冠脉综合征(ACS)患者血浆可溶性低密度脂蛋白受体相关蛋白 1(sLRP-1)、血清调节活化正常 T 细胞表达和分泌因子(RANTES)与全球急性冠状动脉事件注册(GRACE)评分的关系, 进一步分析其对 30 d 内发生主要不良心血管事件(MACE)的预测价值。方法 选取 2018 年 6 月至 11 月收治的 ACS 患者 120 例, ELISA 法测血浆 sLRP-1 和血清 RANTES 水平, 记录 GRACE 评分及危险分层(>140 分为 GRACE 高危组, 109~140 分为中危组, <109 分为低危组)。sLRP-1(μg/ml)水平呈偏态分布, 取 lg 转换后呈正态分布, 以 lg sLRP-1(μg/ml)进行统计分析。根据 lg sLRP-1、RANTES 中位数分别分为高 lg sLRP-1 组(>0.54 μg/ml)和低 lg sLRP-1 组(≤0.54 μg/ml)、高 RANTES 组(>125.47 pg/ml)和低 RANTES 组(≤125.47 pg/ml)。分析 sLRP-1、RANTES 水平与 GRACE 评分的关系及对预后的评估。结果 GRACE 评分高危组 lg sLRP-1、RANTES 水平分别高于中危组和低危组( $P$  均<0.05)。高 lg sLRP-1 组、高 RANTES 组 GRACE 评分分别高于低 lg sLRP-1 组、低 RANTES 组( $P$  均<0.01)。ACS 患者血浆 lg sLRP-1、血清 RANTES 水平与 GRACE 评分呈正相关( $r=0.460, P<0.05$ ;  $r=0.626, P<0.05$ )。对于 ACS 30 d 发生 MACE 的患者, lg sLRP-1、RANTES、GRACE 评分以及三者联合预测的 ROC 曲线下面积分别为 0.875、0.787、0.820 和 0.924, 以三者联合为高( $P<0.05$ )。结论 sLRP-1、RANTES 水平与 ACS 相关, sLRP-1、RANTES 联合 GRACE 评分能更好地反映 ACS 患者的危险分层。

**关键词:** 可溶性低密度脂蛋白受体相关蛋白 1; 调节活化正常 T 细胞表达和分泌因子; 全球急性冠状动脉事件注册评分; 急性冠脉综合征; 预后

中图分类号: R 541.4 文献标识码: A 文章编号: 1674-8182(2020)07-0904-04

## Correlation of plasma sLRP-1, serum RANTES and GRACE score in patients with acute coronary syndrome

TIAN Ya-nan\*, HU Na, SONG Hai-jiu, QIN Wei, DING Zhen-jiang

\* Department of Cardiology, Affiliated Hospital of Chengde Medical University, Chengde, Hebei 067000, China

Corresponding author: DING Zhen-jiang, E-mail: dingzhenjiang@163.com

**Abstract: Objective** To investigate the relationship between plasma soluble low-density lipoprotein receptor-related protein-1(sLRP-1), serum regulated upon activation normal T cell expressed and secreted (RANTES) and Global Registry of Acute Coronary Events(GRACE) score in the patients with acute coronary syndrome (ACS) and further analyze their impacts on 30 d major adverse cardiac event (MACE). **Methods** A total of 120 ACS patients were selected, in whom plasma sLRP-1 and serum RANTES levels were detected by ELISA. Based on the risk assessment and stratification of GRACE scores, the patients were divided into high-risk group(GRACE score >140), medium-risk group(109~140) and low-risk group(<109). The statistical analysis was carried out with lg sLRP-1(μg/ml) in a normal distribution after lg conversion. According to the median value of lg sLRP-1 and RANTES, the patients were divided into high lg sLRP-1 group(>0.54 μg/ml), low lg sLRP-1 group(≤0.54 μg/ml), and high RANTES group(>125.47 pg/ml), low RANTES group(≤125.47 pg/ml), respectively. The associations of sLRP-1 and RANTES levels with GRACE scores and prognosis were analyzed and evaluated. **Results** The levels of lg sLRP-1 and RANTES were significantly elevated in high-risk group compared with those in medium-risk group and low-risk group (all  $P<0.05$ ). GRACE scores in high lg sLRP-1 group and

high RANTES group were statistically higher than those in low Ig sLRP-1 ( $P < 0.01$ ). GRACE score was positively correlated with Ig sLRP-1 and RANTES levels, respectively ( $r = 0.400, r < 0.05$ ;  $r = 0.626, P < 0.05$ ). In terms of Ig sLRP-1, RANTES, GRACE score and the combination of the three predicting 30 d MACE, the area under the ROC curve (AUC) were 0.875, 0.787, 0.820 and 0.924, respectively, and AUC of the combination of three was the highest ( $P < 0.05$ ). **Conclusions** The sLRP-1 and RANTES are associated with the progress of ACS. Detection of sLRP-1 and RANTES combined with GRACE scores can better reflect the risk stratification of ACS patients.

**Key words:** Soluble low-density lipoprotein receptor-related protein-1; Regulated upon activation normal T cell expressed and secreted; Global Registry of Acute Coronary Events score; Acute coronary syndrome; Prognosis

**Fund program:** Hebei Provincial Government Funded Training Project for Professional Leaders (361008); Chengde Science and Technology and Development Plan Project (201801A055)

### 急性冠脉综合征(acute coronary syndrome, ACS)

病情进展迅速且死亡率高,如果能及早对其预后做出评估,有助于临床医生选择及时有效的治疗措施,提高患者的生存率。临幊上常用全球急性冠状动脉事件注册 (Global Registry of Acute Coronary Events, GRACE) 评分对 ACS 患者进行危险分层及预后评估<sup>[1]</sup>。然而,ACS 是在动脉粥样硬化 (atherosclerosis, AS) 的基础上,涉及炎症反应、氧化应激、神经体液因素等复杂的病理生理过程,GRACE 评分倾向临床因素<sup>[2]</sup>,缺乏病理生理学指标。国外多项研究表明,低密度脂蛋白受体相关蛋白 1 (low-density lipoprotein receptor-related protein-1, LRP-1) 在 AS 形成和发展中发挥重要作用<sup>[3-6]</sup>。近期研究发现,LRP-1 的可溶形式 (soluble LRP-1, sLRP-1) 与冠心病临床事件的发生密切相关<sup>[7]</sup>。调节活化正常 T 细胞表达和分泌趋化因子 (regulated upon activation normal T cell expressed and secreted, RANTES) 是 ACS 患者近期死亡的独立危险因子<sup>[8]</sup>。本研究旨在探讨血浆 sLRP-1、血清 RANTES 与 GRACE 评分的关系,以及其对 ACS 患者进行近期预后评估的价值。

## 1 对象与方法

**1.1 对象** 选取 2018 年 6 月至 11 月在承德医学院附属医院心内科住院的 ACS 患者 120 例,包括急性心肌梗死 (AMI) 56 例、不稳定型心绞痛 (UAP) 64 例,男性 82 例,女性 38 例,年龄 ( $61.5 \pm 11.5$ ) 岁。入选标准:ACS 断标准按美国心脏病学会/美国心脏协会 (ACC/AHA) 制定的诊断标准 (2014 年)。排除标准:入院前 2 个月内服用过抗生素及炎症抑制药;合并急性感染、发热、风湿免疫病、甲状腺疾病、恶性肿瘤、严重肝、肾及其他器官功能不全、脑血管及周围血管疾病、阿尔茨海默病、严重心脏瓣膜病、慢性心力衰竭、心肌炎;合并有外伤手术;合并休克、弥漫性血管内凝血等危重状态。研究经医院伦理委员会同意,患

者签署知情同意书。

**1.2 临床资料** 记录患者基线特征,检测生化指标。入选患者常规给予负荷量阿司匹林肠溶片及氯吡格雷、阿托伐他汀、低分子肝素,如无禁忌给予  $\beta$  受体阻滞剂、血管紧张素转换酶抑制剂 (ACEI) 或血管紧张素受体阻滞剂 (ARB)。依据冠脉病变程度进行血运重建治疗或非血运重建治疗,所有冠脉造影经桡动脉路径,血运重建采用药物洗脱支架植入术。

**1.3 sLRP-1、RANTES 测定方法** 采集所有入选患者入院次日清晨空腹外周静脉血 4 ml,应用 ELISA 法检测血浆 sLRP-1 和血清 RANTES 水平。sLRP-1、RANTES 的 ELISA 试剂盒购自上海蓝基生物。sLRP-1 ( $\mu\text{g}/\text{ml}$ ) 水平呈偏态分布,取 lg 转换后呈正态分布,以 lg sLRP-1 ( $\mu\text{g}/\text{ml}$ ) 进行统计分析。lg sLRP-1 的中位数是 0.54  $\mu\text{g}/\text{ml}$ ,RANTES 的中位数是 125.47 pg/ml。根据 lg sLRP-1、RANTES 中位水平分别分为高 lg sLRP-1 组 ( $> 0.54 \mu\text{g}/\text{ml}$ ) 和低 lg sLRP-1 组 ( $\leq 0.54 \mu\text{g}/\text{ml}$ )、高 RANTES 组 ( $> 125.47 \text{ pg}/\text{ml}$ ) 和低 RANTES 组 ( $\leq 125.47 \text{ pg}/\text{ml}$ )。

**1.4 风险评分方法** 依据 GRACE 评分得出数值,分为高危组 ( $> 140$  分)、中危组 ( $109 \sim 140$  分) 和低危组 ( $< 109$  分)。

**1.5 住院观察及随访** 住院观察及门诊或电话随访 ACS 患者发病 30 d 内主要不良心脏事件 (MACE),包括心肌梗死、再次靶血管血运重建、心源性死亡、急性左心衰、恶性心律失常 (高度房室传导阻滞、室性心动过速、心室颤动) 和心源性休克。

**1.6 统计学方法** 统计数据采用 SPSS 21.0 软件分析。所有计量资料进行正态检验,对于偏态分布资料用对数转换成正态分布,采用  $\bar{x} \pm s$  表示,两组间比较用  $t$  检验和  $t'$  检验,多组间比较用方差分析及两两比较的 LSD-t 检验;相关性分析应用线性相关 Pearson 法。使用受试者工作曲线 (ROC) 分析 sLRP-1、RANTES 水平及 GRACE 评分对 ACS 患者发病 30 d

内发生 MACE 预测效能的 ROC 曲线下面积 (AUC)。

$P < 0.05$  为差异有统计学意义。

## 2 结 果

**2.1 GRACE 评分各组 sLRP-1、RANTES 水平** 高危组 lg sLRP-1、RANTES 水平高于中危组及低危组, 中危组 lg sLRP-1、RANTES 水平高于低危组, 差异有统计学意义 ( $P$  均  $< 0.05$ )。见表 1。

**2.2 不同 sLRP-1、RANTES 水平组间 GRACE 评分**

高 lg sLRP-1 组 GRACE 评分高于低 lg sLRP-1 组 ( $P < 0.01$ ); 高 RANTES 组 GRACE 评分高于低 RANTES 组 ( $P < 0.01$ )。见表 2。

**2.3 sLRP-1、RANTES 水平与 GRACE 评分的相关性分析**

Lg sLRP-1 水平与 GRACE 评分呈正相关 ( $r = 0.460, P < 0.05$ ), RANTES 水平与 GRACE 评分呈正相关 ( $r = 0.626, P < 0.05$ ), lg sLRP-1 水平与 RANTES 水平呈正相关 ( $r = 0.520, P < 0.05$ )。

**2.4 sLRP-1、RANTES 水平与 GRACE 评分对 ACS**

表 1 GRACE 评分各组 lg sLRP-1、RANTES 水平的比较

( $\bar{x} \pm s$ )

组别	例数	lg sLRP-1 ( $\mu\text{g/ml}$ )	RANTES ( $\text{pg/ml}$ )
低危组	46	0.44 $\pm$ 0.22	106.67 $\pm$ 26.96
中危组	39	0.52 $\pm$ 0.21 <sup>a</sup>	138.29 $\pm$ 27.26 <sup>a</sup>
高危组	35	0.61 $\pm$ 0.27 <sup>ab</sup>	149.36 $\pm$ 31.51 <sup>ab</sup>
F 值		26.746	25.198
P 值		<0.001	<0.001

注: 与低危组比较,<sup>a</sup> $P < 0.05$ ; 与中危组比较,<sup>b</sup> $P < 0.05$ 。

表 2 不同 sLRP-1、RANTES 组间 GRACE 评分的比较

( $\bar{x} \pm s$ )

组别	例数	GRACE 评分	组别	例数	GRACE 评分
低 lg sLRP-1 组	73	107.98 $\pm$ 17.26	低 RANTES 组	71	106.59 $\pm$ 15.67
高 lg sLRP-1 组	47	117.27 $\pm$ 16.72	高 RANTES 组	49	115.34 $\pm$ 14.53
t'值		2.7996	t 值		2.5984
P 值		0.0062	P 值		0.0057

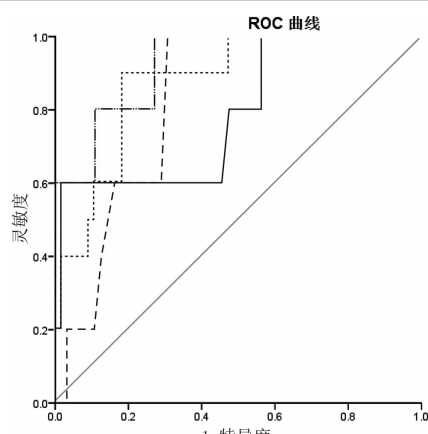


图 1 lg sLRP1、RANTES、GRACE 评分及三者联合预测 MACE 的 ROC 曲线图

者发病 30 d 内发生 MACE 者 10 例 (8.33%)。lg sLRP-1、RANTES、GRACE 评分和三者联合检测的 AUC 分别为 0.875、0.787、0.820、0.924, 差异有统计学意义 ( $P$  均  $< 0.05$ )。见图 1。

## 3 讨 论

动脉粥样硬化不稳定斑块破裂或糜烂导致冠状动脉内急性血栓形成, 被认为是大多数 ACS 发病的主要病理生理基础, 而炎症反应激活是导致斑块不稳定的因素之一。LRP-1 是低密度脂蛋白受体家族 (LDL receptor super family, LDLRs) 中功能最多的一员, 主要功能是内吞其众多配体如脂蛋白 (极低密度脂蛋白、LDL)、蛋白酶/抑制剂复合物 (MMP9、MMP13、TSP2/MMP2 等)、细胞因子和生长因子 [ 血小板衍生生长因子 (PDGF)、转化生长因子 (TGF- $\beta$ ) 和调控 PDGF-BB、TGF- $\beta$  两个信号通路<sup>[3]</sup>]。多项研究表明 LRP-1 发挥着促进 AS 进展和拮抗 AS 形成的双重作用<sup>[3-5]</sup>。LRP-1 的  $\beta$  链细胞膜近端部位可被膜型基质金属蛋白酶 (MT-MMPs) 降解, 其完整的  $\alpha$  链脱落入血浆, 称为可溶性 LRP-1 (sLRP-1)<sup>[9]</sup>。有研究表明 sLRP-1 参与了 AS 的形成, 是一种新型 AS 的标志物<sup>[6]</sup>。各种体外模型表明, sLRP-1 是与动脉粥样硬化疾病相关的几种细胞的生物活性介质。Gaultier 等<sup>[10]</sup>证明 sLRP-1 抑制 TNF- $\alpha$  诱导的神经系统细胞中 p38-MAPK 和 ERK/MAPK 的激活。Gorovoy 等<sup>[11]</sup>提出, sLRP-1 诱导小鼠巨噬细胞肿瘤坏死因子 (TNF)- $\alpha$ 、趋化因子配体 (CCL)2 和白细胞介素 (IL)-10 的表达。sLRP-1 促进炎症因子表达的作用得到了证实<sup>[12]</sup>。此外, sLRP-1 抑制 LRP-1 对 MMP-2、MMP-9 的内吞清除<sup>[13]</sup>。因此, sLRP-1 可能通过调节 AS 相关机制参与冠状动脉粥样硬化性心脏病的发展和随后的血管事件。

ACS 的风险随着 sLRP-1 水平升高而增加。本研究结果显示, 高 lg sLRP-1 组患者 GRACE 评分、RANTES 水平显著高于低 lg sLRP-1 组, GRACE 评分高危组患者 sLRP-1、RANTES 水平显著高于低危组。GRACE 风险评估体系是目前评估 ACS 患者 MACE 事件的最常用指标<sup>[14]</sup>。从本研究观察到, lg sLRP-1 与 GRACE 评分呈正相关, lg sLRP-1 与 RANTES 呈正相关, 表明 ACS 患者中存在着强烈的炎症反应, 导致 sLRP-1 和 RANTES 的升高。病理生理状态下的炎症反应促使 AS 斑块 LRP-1 的  $\alpha$  链脱落形成 sLRP-1, sLRP-1 可能作为炎症因子诱导巨噬细胞炎症因子 TNF- $\alpha$ 、MCP-1/CCL2 等炎症因子的表达, 进一步加重

斑块的不稳定。

RANTE 是趋化性细胞因子 CC 亚族成员, 该因子由单核/巨噬细胞、T 细胞、平滑肌细胞、血小板和成纤维细胞等在炎症因子 IL-1 $\beta$  或 TNF- $\alpha$  的刺激下产生, 对这些细胞发挥趋化作用, 同时促使其释放多种炎症因子<sup>[15]</sup>。国外研究表明, RANTES 在 ACS 患者血清中表达明显升高, 是 ACS 患者近期死亡的独立危险因子<sup>[8,16]</sup>。故 RANTES 与 GRACE 评分相关。ACS 患者体内的炎症反应促使 sLRP-1 表达升高, 同时 sLRP-1 促进 TNF- $\alpha$  等炎症因子的表达, 从而 RANTES 的表达升高。从本研究也观察到, RANTES 与 lg sLRP-1、GRACE 评分呈正相关。

对于 ACS 患者发病 30 d 内发生 MACE 预测的 ROC 曲线分析结果显示, sLRP-1、RANTES、GRACE 评分三项指标和三者联合检测对 MACE 发生的预测都有意义。目前对于 ACS 患者的治疗, 冠状动脉介入治疗和溶栓治疗是血运重建的主要策略, 将 sLRP-1 和 RANTES 纳入到 GRACE 风险评估体系, 可对 ACS 患者心脏事件的发生早期预测、早期预防, 以达到早期血运重建、改善预后和减少病死率。

## 参考文献

- [1] Amsterdam EA, Wenger VK, Brindis RG, et al. 2014 AHA/ACC guideline for the management of patients with non-ST-elevation acute coronary syndromes: a report of the American College of Cardiology/American Heart Association Task Force on Practice Guidelines [J]. Circulation, 2014, 130(25): e344 – e426.
- [2] Alnasser SM, Huang W, Gore JM, et al. Late consequences of acute coronary syndromes: Global Registry of Acute Coronary Events (GRACE) follow-up [J]. Am J Med, 2015, 128(7): 766 – 775.
- [3] Costales P, Fuentes-Prior P, Castellano J, et al. K Domain CR9 of low density lipoprotein (LDL) receptor-related protein1 (LRP1) is critical for aggregated LDL-induced foam cell formation from human vascular smooth muscle cells [J]. J Biol Chem, 2015, 290(24): 14852 – 14865.
- [4] Zhu L, Giunzoni I, Tavori H, et al. Loss of macrophage low-density lipoprotein receptor-related protein 1 confers resistance to the antiatherogenic effects of tumor necrosis factor- $\alpha$  inhibition [J]. Arterioscler Thromb Vasc Biol, 2016, 36: 1483 – 1495.
- [5] El Asmar Z, Terrand J, Jentz M, et al. Convergent signaling pathways controlled by LRP1 (receptor-related protein 1) cytoplasmic and ex-
- [6] de Gonzalo-Calvo D, Cenarro A, Martínez-Bujidos M, et al. Circulating soluble low-density lipoprotein receptor-related protein 1 (sLRP1) concentration is associated with hypercholesterolemia: a new potential biomarker for atherosclerosis [J]. Int J Cardiol, 2015, 201: 20 – 29.
- [7] de Gonzalo-Calvo D, Elosua R, Vea A, et al. Soluble low-density lipoprotein receptor-related protein 1 as a biomarker of coronary risk: predictive capacity and association with clinical events [J]. Atherosclerosis, 2019, 287: 93 – 99.
- [8] de Jager SC, Bongaerts BW, Weber M, et al. Chemokines CCL3/MIP1 $\alpha$ , CCL5/RANTES and CCL18/PARC are independent risk predictors of short-term mortality in patients with acute coronary syndromes [J]. PLoS One, 2012, 7(9): e45804.
- [9] Rozanov DV, Hahn-Dantona E, Strickland DK, et al. The low density lipoprotein receptorrelated protein LRP is regulated by membrane type-1 matrix metalloproteinase (MT1-MMP) proteolysis in malignant cells [J]. J Biol Chem, 2004, 279(6): 4260 – 4268.
- [10] Gaultier A, Arandjelovic S, Li X, et al. A shed form of LDL receptor-related protein-1 regulates peripheral nerve injury and neuropathic pain in rodents [J]. J Clin Investig, 2008, 118: 161 – 172.
- [11] Gorovoy M, Gaultier A, Campana WM, et al. Inflammatory mediators promote production of shed LRP-1/CD91, which regulates cell signaling and cytokine expression by macrophages [J]. J Leukoc Biol, 2010, 88(4): 769 – 778.
- [12] Brifault C, Gilder AS, Laudati E, et al. Shedding of membrane associated LDL receptor-related protein-1 from microglia amplifies and sustains neuroinflammation. J. Biol [J]. Chem, 2017, 292: 18699 – 18712.
- [13] Selvais C, D'Auria L, Tyteca D, et al. Cell cholesterol modulates metalloproteinase-dependent shedding of low-density lipoprotein receptor-related protein-1 (LRP-1) and clearance function [J]. FASEB J, 2011, 125(8): 1 – 12.
- [14] Omer G, Gokhan A, Adem U, et al. Relation of the aortic stiffness with the GRACE risk score in patients with the non ST segment elevation myocardial infarction [J]. Int J Clin Exp Med, 2014, 7(9): 3030 – 3036.
- [15] Koper-Lenkiewicz OM, Kamińska J, Lisowska A, et al. Factors Associated with RANTES Concentration in Cardiovascular Disease Patients [J]. Biomed Res Int, 2019, 2019: 3026453.
- [16] Blanchet X, Cesarek K, Brandt J, et al. Inflammatory role and prognostic value of platelet chemokines in acute coronary syndrome [J]. Thromb Haemost, 2014, 112(6): 1277 – 1287.

收稿日期: 2019-11-02 修回日期: 2019-12-30 编辑: 石嘉莹